

## 미세 패턴된 GMR-SV 소자의 일축이방성에 따른 자기저항 특성

박영석<sup>1\*</sup>, 조규일<sup>1</sup>, 안명천<sup>1</sup>, 주호완<sup>2</sup>, 황도근<sup>1,3</sup>, 이상석<sup>1,4</sup>

<sup>1</sup>상지대학교 대학원 동서의료공학과, 강원도 원주시 우산동, 220-702

<sup>2</sup>상지대학교 생명과학연구소, 강원도 원주시 우산동, 220-702

<sup>3</sup>상지대학교 응용물리전자학과, 강원도 원주시 우산동, 220-702

<sup>4</sup>상지대학교 한방의료공학과, 강원도 원주시 우산동, 220-702

거대자기저항-스핀밸브 (giant magnetoresistance-spin valves; GMR-SV) 바이오센서로서 미세 패턴된 모양에 따라 길이 방향과 폭 방향 용이축에 의존하는 자기저항 특성을 연구하였다. 스핀밸브 다층구조는 Glass/NiO/NiFe/CoFe/Cu/CoFe/NiFe 이었다. 자성 다층박막의 일축이방성을 만들기 위해 증착시와 리소 패턴닝 후 진공 열처리를 300 Oe 정도 외부자기장을 인가하였다. 형상자기이방성이 효과를 고려하여 광 리소그래피 과정으로 얻은 미세 활성영역 패턴 크기는  $5 \times 9 \mu\text{m}^2$ 부터  $1 \times 3 \mu\text{m}^2$ 로 하였다. 2단자법으로 길이방향의 센싱전류와 폭방향의 고정층의 용이축 방향 각도에 의존하는 자기민감도의 변화는 바이오센서 소자로서 활용에 중요한 요인임을 확인하였다.

### 1. 실험방법

리소그래피 공정을 이용하여  $2 \times 15 \mu\text{m}^2$ 의 PR (photoresist) 영역을 남기고 ECR Ar 이온 밀링으로 식각을 하였다. 여기서 증착시 인가한 자기장 용이축 방향을 소자의 길이방향 혹은 폭방향으로 하여 형상자기이방성 효과가 나타나지 않거나 나타나도록 두 가지 중 하나를 선택하였다. Fig. 1에서 보여준 것처럼 밀링 후 아세톤으로 PR을 제거하고 다시 리소그래피 lift-off 방식으로  $2 \times 5 \mu\text{m}^2$ 의 실제 영역만 남게 Al(500 Å)/Cu(200 Å) 전극을 형성하였다. 소자 공정 효과로 인한 산화막 및 표면 오염으로 인한 자기저항 특성 변화를 최소화하기 위하여 표면처리과정을 거친 후 *in-situ* 공정을 바로 전극을 증착하였다.

제작된 GMR-SV 바이오 센서[1-3]의 자장민감도를 향상시키기 위하여 제작된 시료를 300 Oe의 균일한 외부자기장 하에서 진공열처리를 행하였다[4]. 열처리시 챔버의 진공도는  $3 \times 10^{-6}$  Torr를 유지하였다. 상온에서  $5^\circ\text{C}/\text{min}$  속도로  $200^\circ\text{C}$ 까지 증가하였고, 1 시간 머무른 후  $5^\circ\text{C}/\text{min}$  속도로 상온까지 하강하였다. 열처리시 인가한 외부자기장에 의해 GMR-SV 소자의 다층 하부구조에서 고정 자성 층인 CoFe/NiFe bilayer의 용이축 방향을 폭방향으로 유도하였고, 상부구조 자유 자성층인 CoFe/NiFe bilayer의 용이축 방향은 형상자기이방을 따르는 길이방향으로 유도하였다.

### 2. 실험결과 및 분석

Fig. 2는 GMR/-SV 박막의 자기저항특성 곡선들을 보여준 결과이다. Glass(7059)/NiO(300

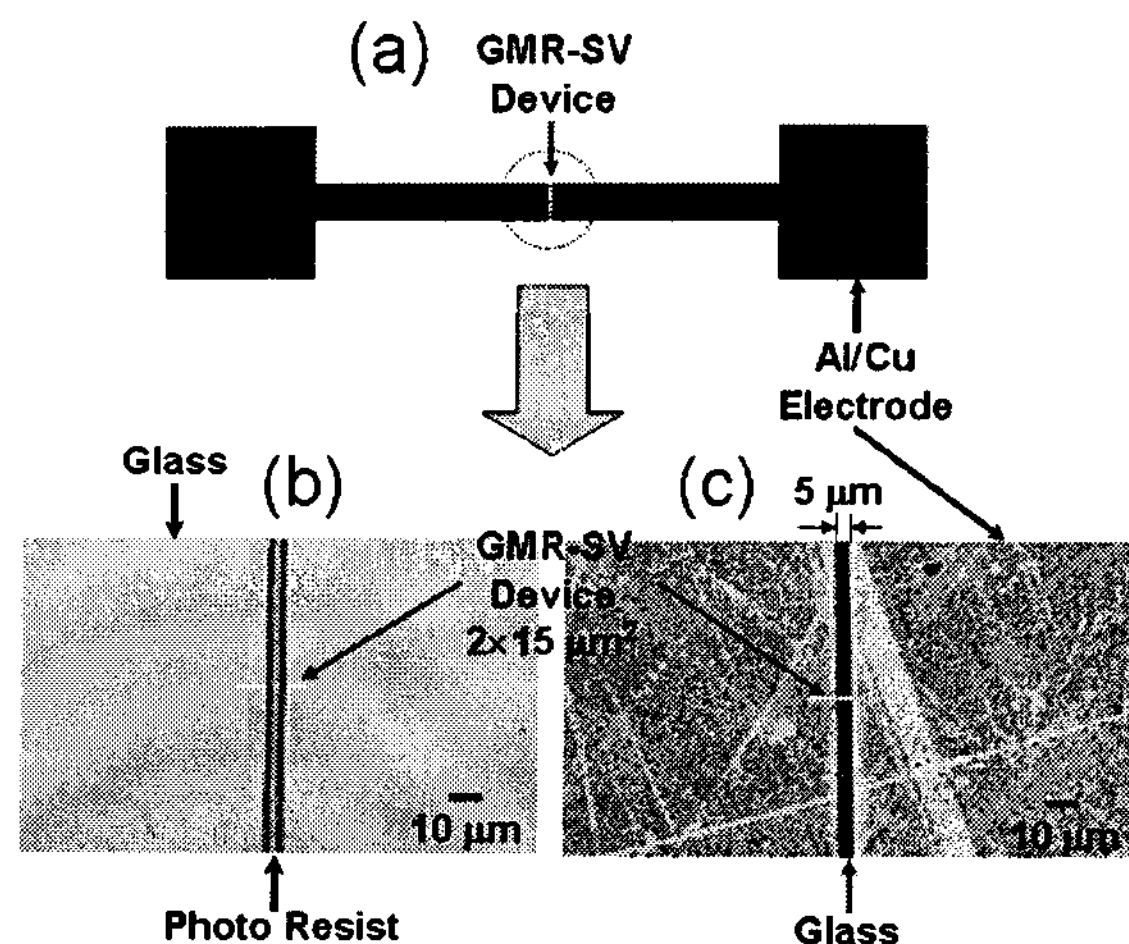


Fig. 1 제작된 GMR-SV 바이오센서의 개략도 및 실제 소자 사진

$\text{\AA}$ )/NiFe(20  $\text{\AA}$ )/Cu(26  $\text{\AA}$ )/(CoFe(10  $\text{\AA}$ )/NiFe(40  $\text{\AA}$ ) 다층 박막의 시료는 패턴 후 Fig. 2의 삽입된 그림과 같이  $25 \times 120 \mu\text{m}^2$  4단자로 패턴된 소자를 제작하였다. Fig. 2(a)와 (b)는 폭 25  $\mu\text{m}$  시료에 대한 4단자 법으로 측정한 major 와 minor loop의 MR (magneto-resistance) 곡선이다.

MR 비와 내부 저항은 각각 Fig. 2(b)에서 8.8%와 25  $\Omega$ 로 나타났다. 한편 고정층 (pinned layer)인 하부 삼층 구조 (trilayer)인 NiO(300  $\text{\AA}$ )/NiFe(20  $\text{\AA}$ )/CoFe(10  $\text{\AA}$ )의 교환 결합 세기 ( $H_{\text{ex}}$ ), 보자력 ( $H_c$ )의 값은 각각 140 Oe와 105 Oe이었다. 비자성 층 Cu층을 사이로 자유층 (free layer)인 CoFe(10  $\text{\AA}$ )/NiFe (40  $\text{\AA}$ )는 하부 고정층 간의 상호 결합력 8.0 Oe 이었고, 보자력은 8.2 Oe로 연자성 히스테르시스 특성을 갖고 있음을 Fig. 2(c)에서 알 수 있었다. 또한 고감도 소자의 자화 특성을 결정하는 외부 자기장 민감도는  $MS = 1.5 \text{ \%}/\text{Oe}$  이었다. 이것은 미세 패턴 후 얻어질 양호한 민감도를 유지할 수 있도록 충분한 저기저항 특성으로 사료된다. 또한 곤란축 (hard axis)으로 외부 자기장을 가하여 얻은 MR비는 GMR-SV 박막의 자기이방성 (anisotropic magnetoresistance; AMR) 효과에 의한 감소로 약 2.5 % 근방의 값으로 Fig. 2(c)에서 나타났다.

Fig. 3은 미세 패턴 후 NiO based GMR-SV 다층 박막 바이오 센서의 2단자 법으로 측정한 자기저항 곡선들이다. Fig. 3의 삽입그림에서 Al/Cu 전극으로 덮힌 부분을 제외한 미세 패턴된  $2 \times 5 \mu\text{m}^2$  모양과 용이축 방향을 표시하였다. 증착 시 형성된 일축 이방성인 미세 패턴의 용이축 방향으로 측정 시 외부 자기장을 인가하여 동일한 센싱 전류 방향축으로 하여 측정하였다. Fig. 3(a)에서 용이축 방향 얻은 자기저항 곡선의 major loop 으로부터  $25 \times 120 \mu\text{m}^2$  4단자로 패턴된 소자의 자기저항 특성을 보여준 Fig. 2(a)와 달리  $H_{\text{ex}}$ 과  $H_c$ 의 값은 각각 120 Oe, 90 Oe로 조금 감소한 반면에, MR과 MS의 값은 각각 4.2 %와 0.3%/Oe로 크게 감소한 특성을 Fig. 3(b)에서 보여주었다. 하부 고정층 NiFe/CoFe과 상부 자유층 CoFe/NiFe 사이의 상호 결합력과 보자력은 거의 8.0 Oe 근방 값으로 패턴ning 전의 값들과 거의 비슷하였다. 이러한 현상은 측정 시 내부 저항보다는 표면 저항이 포함된 2단자 저항값이 85  $\Omega$ 으로 증가한 것뿐 아니라, 리소그래피 soft와 hard baking 공정 시 공기 중에서 90 °C와 110 °C 열적 효과와 PR 도포 후 자유층의 표면 손상으로 인한 것으로 사료된다.

Fig. 3에서 논의 했듯이 길이 방향으로 용이축을 설정한 NiO based GMR-SV 다층 박막 바이오 센서가 폭 방향으로 용이축을 유도하기 위해 200 °C에서 영구자석을 이용하여 300 Oe의 균일한 자기장하에서 1시간 동안 진공 열처리를 행하였다. 용이축과 곤란축 그리고 센싱 전류 방향을 도시한 것이 Fig 4의 삽입그림에 나타내었다. 열처리 후 상온에서 2단자 법으로 측정한 자기저항 곡선들의 용이축 major와 minor loop들을 Fig. 4(a)와 4(b)에 각각 나타내었고, 곤란축의 major loop는 Fig. 4(c)에 나타내었다. 열처리 전과 후의 자기저항 곡선에 조사된  $H_{\text{ex}}$ ,  $H_c$ , 그리고 MR 값은 각각 120 Oe, 90 Oe,

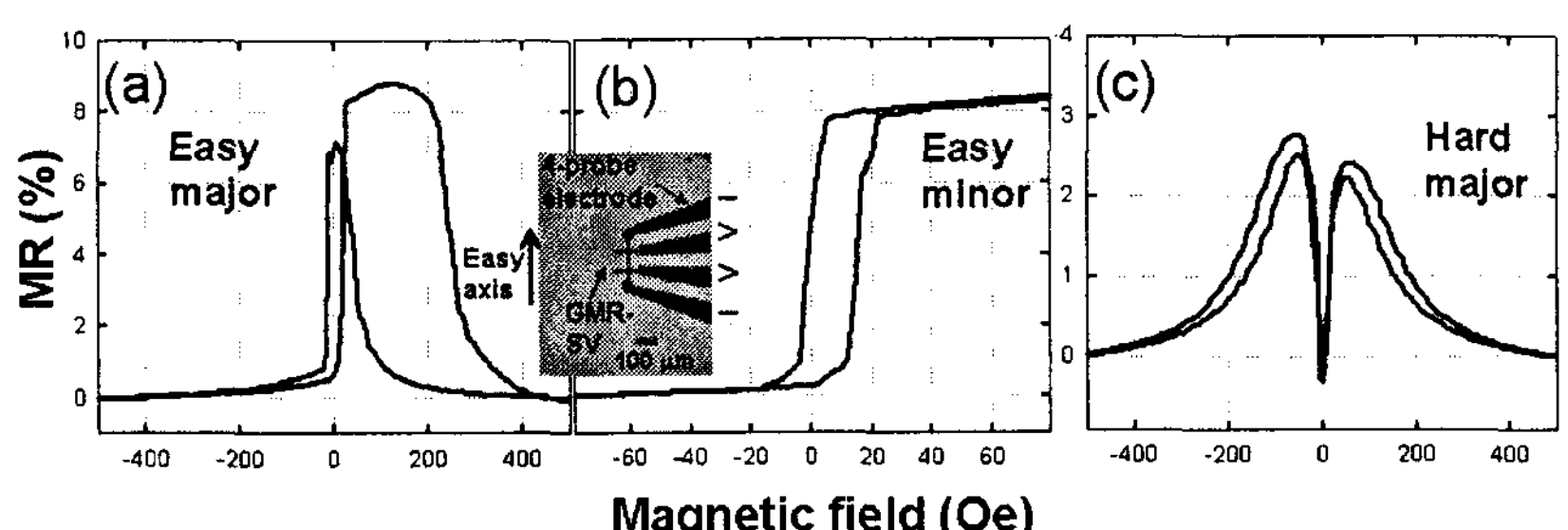


Fig. 2. 미세 패턴 전 NiO(300  $\text{\AA}$ )/NiFe(20  $\text{\AA}$ )/CoFe(10  $\text{\AA}$ )/Cu(26  $\text{\AA}$ )/(CoFe(10  $\text{\AA}$ )/NiFe(40  $\text{\AA}$ ) GMR-SV 다층 박막 구조의 4단자 법으로 측정한 자기저항 특성 곡선들 : (a) 용이축 방향 자기저항 곡선의 major loop, (b) 용이축 방향 자기저항 곡선의 minor loop, (c) 곤란축 방향 자기저항 곡선의 major loop. 그리고 삽입된 그림은 4-단자 패턴된 소자 모양

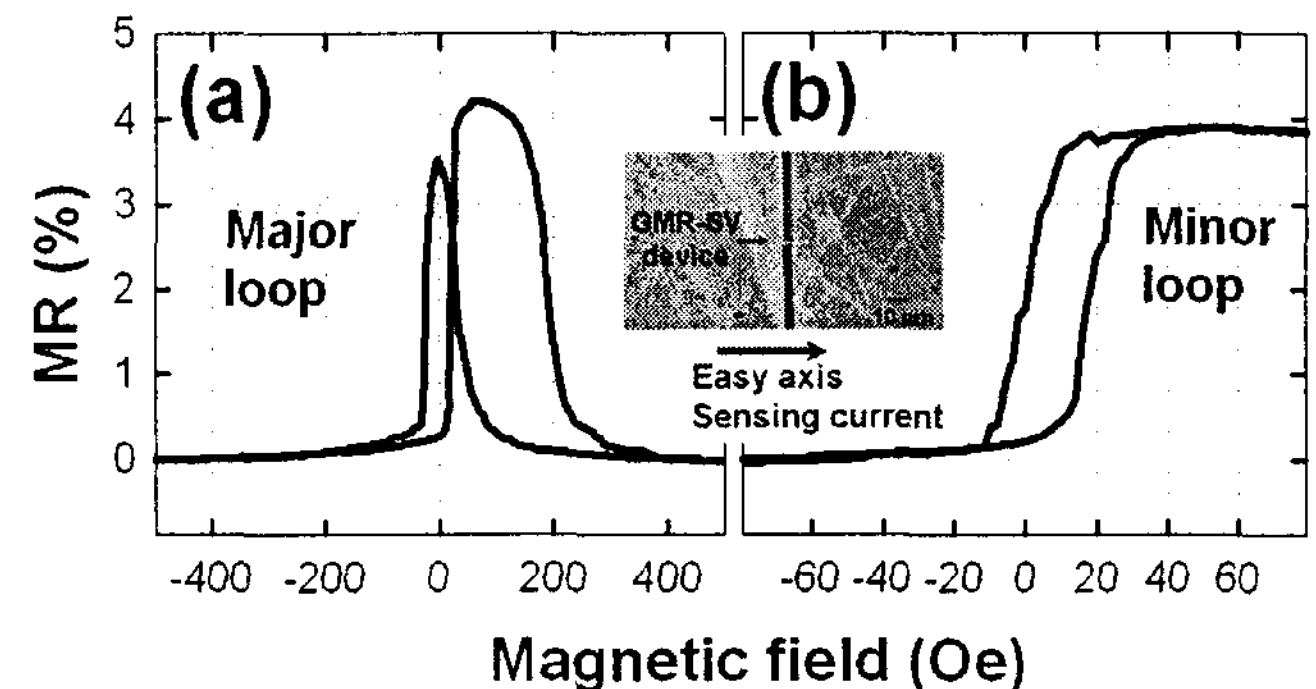


Fig. 3. 미세 패턴 후 NiO(300  $\text{\AA}$ )/NiFe(20  $\text{\AA}$ )/CoFe(10  $\text{\AA}$ )/Cu(26  $\text{\AA}$ )/(CoFe(10  $\text{\AA}$ )/NiFe(40  $\text{\AA}$ ) GMR-SV 다층 박막 구조의 2단자 법으로 측정한 자기저항 특성 곡선들 : (a) 용이축 방향 자기저항 곡선의 major loop, (b) 용이축 방향 자기저항 곡선의 minor loop. 그리고 삽입된 그림으로 미세 패턴된  $2 \times 5 \mu\text{m}^2$  모양과 용이축 방향.

그리고 4 % 근방에서 다소 변화가 없었다. 그러나 열처리 후 자장민감도인  $MS$  값은 0.3 %/Oe에서 0.1 %/Oe로 3배 정도 줄어들었다. 반면에, 열처리 전에 보자력 20 Oe을 갖는 용이축 minor loop가 열처리 후 히스테리시스 (hysteresis) 특성 뿐만 아니라 상호결합력이 거의 없는 보자력 2 Oe로 10배 정도

줄어든 minor loop로 변하였다. 이것은 Fig. 4(a)와 (b)의 MR 곡선 특성처럼 초기 자화방향과 측정전류 방향 차이에 의한 효과가 반자장효과 보다 클 것으로 사료된다. 이러한 결과로 볼 때, 0 Oe에서 외부의 미세 자기장 변화에 거의 선형적 비례하는 특성을 갖는 열처리 후 minor 자기저항곡선이 자장민감도가 크게 개선이 된다면 자성입자의 검출에 용이한 바이오소자로 적용할 수 있을 것으로 보인다.

### 3. 참고문헌

- [1] J. M. Daughton, J. Magn. Magn. Maters. **192**, 334 (1999).
- [2] D. A. Baker, Nature **405**, 39 (2000).
- [3] G. Li, S. Sun, R. J. Wilson, R. L. White, N. Pourmand, S. X. Wang, Sens. Acut. A **126**, 98 (2006).
- [4] S. S. Lee, S. H. Park, K. S. Soh, H. W. Joo, G. W. Kim, and D. G. Hwang, J. Kor. Mag. Soc. **17**, 172 (2007).

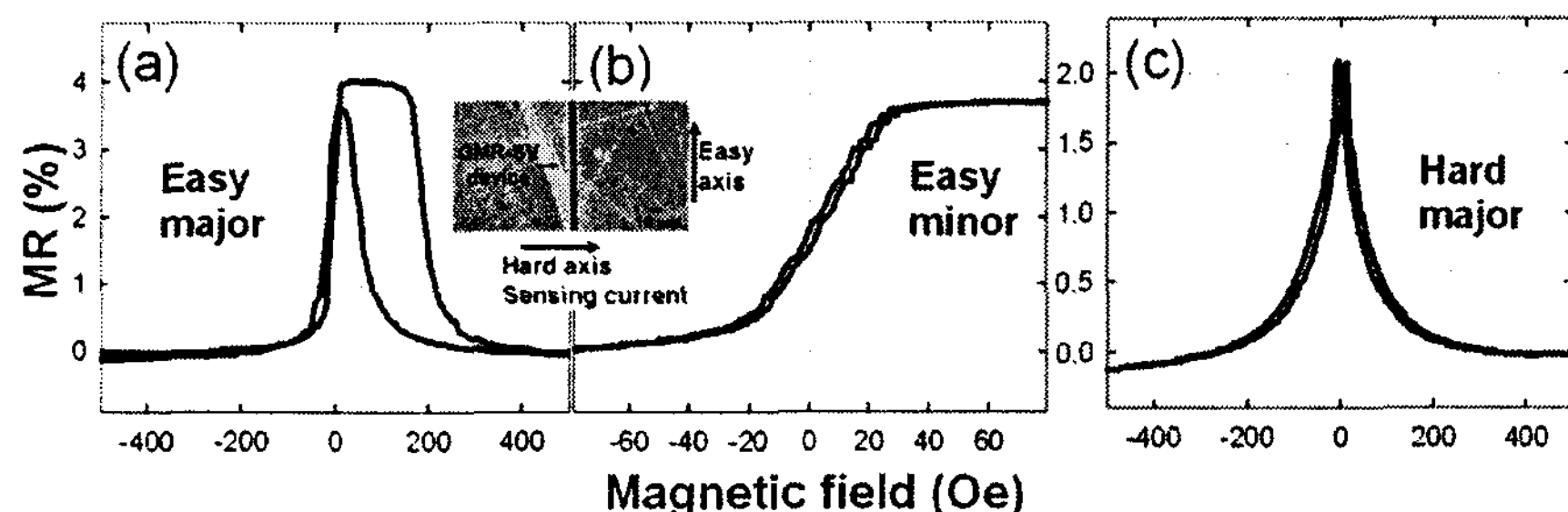


Fig. 4. 미세 패턴 및 열처리 후  $\text{NiO}(300 \text{ \AA})/\text{NiFe}(20 \text{ \AA})/\text{CoFe}(10 \text{ \AA})/\text{Cu}(26 \text{ \AA})/(\text{CoFe}(10 \text{ \AA})/\text{NiFe}(40 \text{ \AA}))$  GMR-SV 다층박막 구조의 2단자 법으로 측정한 자기저항 특성 곡선 들 : (a) 용이축 방향 자기저항곡선의 major loop, (b) 용이축 방향 자기저항곡선의 minor loop, (c) 곤란축 방향 자기저항곡선의 major loop. 그리고 삼입그림은 (a) 미세패턴된  $2 \times 5 \mu\text{m}^2$  모양과 열처리 시 용이축 및 곤란축 방향을 보여줌.